

УДК 532.685; 532.592

**ПОВЫШЕНИЕ СКОРОСТИ КАПИЛЛЯРНОЙ ПРОПИТКИ
ПРИ ВОЗДЕЙСТВИИ НА НЕФТЯНУЮ ЗАЛЕЖЬ**

Д. С. Евстигнеев

*Институт горного дела им. Н. А. Чинакала СО РАН,
E-mail: rdx0503@gmail.com, Красный проспект, 54, 630091, г. Новосибирск, Россия*

Предложена постановка задачи, описывающая процесс поднятия жидкости в капиллярах, один конец которых сообщается со свободной атмосферой, а другой опущен в резервуар с жидкостью со стенками, находящимися под вибровоздействием. Расчетами показано, что импульсы давления в жидкости существенно сокращают время капиллярной пропитки. В отсутствие колебаний жидкости, поступающей из резервуара в капилляр, высота ее поднятия, определенная в результате численного решения поставленной задачи, совпадает с расчетами выполненными на основе уравнения Вашбурна – Лукаса и хорошо согласуется с экспериментальными данными. Приводится алгоритм, позволяющий обобщить задачу на капиллярную пропитку образцов пористых сред, насыщенных несмешивающимися жидкостями.

Капиллярная пропитка, импульсы давления, двухфазное течение, вибровоздействие

DOI: 10.15372/FTPRI20210203

При изменении уровня давления в пластовых водах шахт и рудников газ, находящийся в порах горной породы, через систему пор и трещин поступает в пространство выработки. Вибровоздействие, оказываемое на разрабатываемый пласт, ускоряет процессы газоотдачи и фильтрации [1 – 3]. Это обусловлено интенсификацией капиллярной пропитки, зависящей от физико-химических свойств внутренней поверхности пор [4, 5].

Известные математические модели (Секели, Баттена, Вашбурна – Лукаса, Ичикава – Садота), описывающие процесс поднятия жидкости в капиллярах [6 – 13] и пористых средах, представленной системой капилляров [14 – 18], невозможно применить к задачам моделирования процесса ускорения капиллярной пропитки под воздействием вибраций. Задачу можно решить, используя уравнения Навье – Стокса для несжимаемой жидкости, отделенной трехфазным периметром смачивания от твердой поверхности капилляра и другой несмешиваемой фазы — газа или жидкости. Применение алгоритмов решения контактных задач взаимодействия гетерогенных сред, детальный анализ которых приведен в [19], позволяет провести такое исследование.

ПОСТАНОВКА ЗАДАЧИ КАПИЛЛЯРНОЙ ПРОПИТКИ

Поместим капилляр или образец горной породы цилиндрической формы в заполненный жидкостью резервуар (рис. 1) так, чтобы нижний конец касался свободной поверхности жидкости, а верхний открытый конец сообщался с окружающей атмосферой. Интерес представляет

процесс наполнения жидкостью внутренней полости капилляра, поэтому смачивание внешней поверхности, а также влияние стенок резервуара на приток жидкости не рассматривается. Под действием силы поверхностного натяжения жидкость из резервуара поступает во внутреннее пространство капилляра или в поровое пространство горной породы, вытесняя находящуюся там нефть или газ.

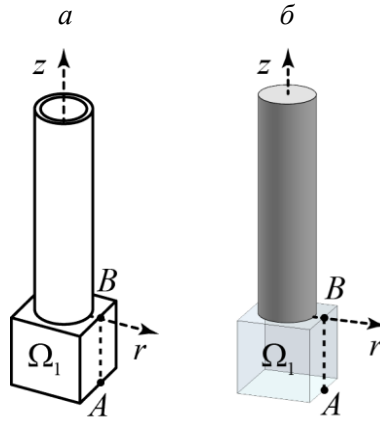


Рис. 1. Схема размещения в резервуаре с водой капилляра (а) и образца горной породы (б)

Воздействие упругих колебаний на дно резервуара передается находящейся в нем жидкости, которая поступает в капилляр или в образец горной породы, ускоряя процесс капиллярной пропитки. Эффективность ускорения капиллярной пропитки определим по разности дебитов жидкости в присутствии и отсутствии воздействия упругими колебаниями. Адекватность решения поставленной задачи оценим, сопоставив расчетные значения высоты поднятия жидкости в капилляре, полученные без учета вибровоздействия, с экспериментальными данными и расчетами, проведенными по формуле Вашбурна – Лукаса [12].

Законы сохранения массы и импульса для несжимаемого флюида ($\rho = \text{const}$) могут быть записаны в дифференциальной форме [20, 21]:

$$\nabla \cdot \bar{u} = 0, \quad (1)$$

$$\frac{\partial(\rho \bar{u})}{\partial t} + \rho(\bar{u} \cdot \nabla)\bar{u} = \nabla[-p\mathbf{I} + \mu(\nabla\bar{u} + (\nabla\bar{u})^T)] + \bar{F} + \rho\bar{g}, \quad (2)$$

где ρ — плотность; t — время; \bar{u} — вектор скорости движения флюида; p — давление; \mathbf{I} — единичный тензор; μ — динамическая вязкость; \bar{F} — сила поверхностного натяжения; $\rho\bar{g}$ — сила тяжести.

Для двух несмешиваемых сред вода/воздух или вода/нефть воспользуемся единым законом движения флюида, состоящего из двух фаз, путем введения функции-идентификатора среды $\varphi(\bar{x}, t)$, где \bar{x} — радиус-вектор точки пространства, t — время. В расчете функция $\varphi(\bar{x}) = \varphi(\bar{x}, 0)$ определяется как

$$\varphi(\bar{x}) = \begin{cases} 1 & \text{в области, занятой первой фазой,} \\ 0 & \text{в области, занятой второй фазой.} \end{cases} \quad (3)$$

Изменение положения подвижной контактной границы задается уравнением переноса с источниковым членом S :

$$\frac{\partial \varphi}{\partial t} + \bar{u} \cdot \nabla \varphi = S, \quad (4)$$

\bar{u} — вектор скорости движения флюида.

Функция-идентификатор среды $\varphi(\bar{x}, t)$ определяется методом установления уровня [19, 22–25], в котором источниковый член

$$S = \gamma \nabla \left(\varepsilon \nabla \varphi - \varphi(1 - \varphi) \frac{\nabla \varphi}{|\nabla \varphi|} \right). \quad (5)$$

Здесь γ — параметр модели, принимаемый равным максимальному значению модуля \bar{u} ; ε — толщина переходного участка, отделяющего две несмешиваемые среды.

Наличие во флюиде двух несмешиваемых фаз с различными свойствами порождает на контактной границе силу поверхностного натяжения, входящую в правую часть закона сохранения импульса (2):

$$\bar{F} = \nabla \cdot \mathbf{T}, \quad (6)$$

$$\mathbf{T} = \sigma(\mathbf{I} - \bar{n} \cdot \bar{n}^T) \delta, \quad (7)$$

где σ — коэффициент поверхностного натяжения; \bar{n} — вектор нормали к границе поверхности раздела Γ , который для $\forall x \in \Gamma$ удовлетворяет равенству

$$\bar{n}(x) = \frac{\nabla \varphi}{|\nabla \varphi|}, \quad \nabla \varphi \neq 0. \quad (8)$$

Дельта-функция δ из (7) аппроксимируется зависимостью [26, 27]:

$$\delta = 6|\varphi(1 - \varphi)| |\nabla \varphi|. \quad (9)$$

Плотность и вязкость флюида, входящие в (2), с учетом положения подвижной контактной границы, определяемой функцией-идентификатором среды $\varphi(\mathbf{x}, t)$, связаны зависимостями:

$$\rho = \rho_2 + (\rho_1 - \rho_2)\varphi, \quad (10)$$

$$\mu = \mu_2 + (\mu_1 - \mu_2)\varphi, \quad (11)$$

здесь индекс “1” относится к первой среде (вода), индекс “2” — ко второй (воздух или нефть).

Для описания движения флюида в породе необходимо учесть влияние стенок материала коллектора. На контакте жидкости с твердым телом, в присутствии третьей фазы — газа или другой, несмешиваемой жидкости, проявляется поверхностное явление (смачивание). Благодаря ему, поверхность жидкости в капилляре или трещине после соприкосновения с его поверхностью искривляется, образуя, в зависимости от соотношения работ адгезии и когезии [28], выпуклый или вогнутый мениск. Равновесный краевой угол смачивания θ определяется как угол между твердой поверхностью и касательной в точке соприкосновения фаз. На рис. 2 схематически показано определение краевого угла смачивания для поверхности капилляра, обладающего гидрофильными свойствами ($\theta < 90^\circ$).

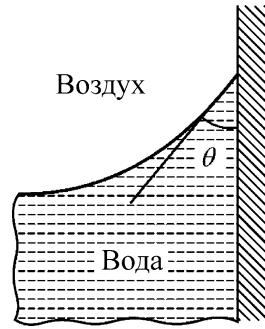


Рис. 2. Краевой угол смачивания для гидрофильной поверхности ($\theta < 90^\circ$)

В пластовых условиях на поверхности раздела фаз наблюдаются неустойчивые процессы изменения равновесного угла смачивания [29]. При вытеснении нефти водой образуется передвигающийся трехфазный периметр смачивания [4]. Вследствие проявления кинетического гистерезиса смачивания [28], угол смачивания в нефтяном коллекторе изменяется в зависимости от скорости и направления движения мениска жидкости, шероховатости твердой поверхности и адсорбции на ней содержащихся в нефти кислот и асфальтенов.

Подробно остановимся на задании граничного условия на границе контакта жидкости с твердым телом. Теория пограничного слоя, применяемая для описания задач внешнего обтекания твердого тела потоком жидкости, при различных режимах течения детально изложена в [21]. В рассматриваемой задаче поднятия жидкости в капилляре режим течения — ламинарный. Из этого следует, что нормальная составляющая вектора скорости потока $\vec{u} \cdot \vec{n}_{wall} = 0$, а тангенциальная составляющая может быть отлична от нуля [5, 30, 31]. Тангенциальная компонента скорости потока равна нулю на некотором расстоянии от стенки β (рис. 3).

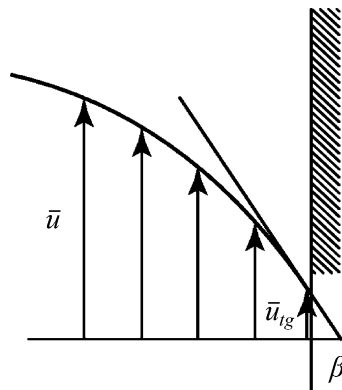


Рис. 3. К определению тангенциальной составляющей вектора скорости

Тангенциальную составляющую скорости \bar{u}_{tg} определим линейной экстраполяцией скорости потока \bar{u} , рассчитанной вблизи стенки, и нулевой скорости на расстоянии β :

$$\bar{u}_{tg} = \bar{u} - (\bar{u} \cdot \bar{n}_{wall}) \bar{n}_{wall}, \quad (12)$$

где \bar{n}_{wall} — вектор внешней нормали к поверхности стенки капилляра, направленный от границы поверхности в область, занятую водой.

Сила трения жидкости о материал стенки капилляра зависит от вязкости жидкости μ и тангенциальной составляющей вектора скорости \bar{u}_{tg} [9]:

$$\bar{F}_{tr} = -\frac{\mu}{\beta} \bar{u}_{tg}. \quad (13)$$

Кроме силы трения, на границе контакта жидкости и твердого тела действует сила поверхностного натяжения, зависящая от краевого угла смачивания θ . Чтобы задать граничное условие для системы уравнений (1), (2) на линии скольжения жидкости с поверхностью твердого тела, недостаточно учесть только условия непротекания и силы трения, необходимо задать некомпенсированную силу Юнга, которая для обобщенных граничных условий Навье [30] имеет вид

$$\bar{F}_\theta = \sigma \delta (\bar{m} \cdot \bar{k}_{\partial\Omega} - \cos \theta) \bar{k}_{\partial\Omega}, \quad (14)$$

здесь \bar{m} , $\bar{k}_{\partial\Omega}$ — векторы, направленные вдоль границы смачивания “жидкость – газ” и “жидкость – твердое тело”. Векторы \bar{n}_Σ , $\bar{n}_{\partial\Omega}$ ортогональны \bar{m} , $\bar{k}_{\partial\Omega}$ и являются векторами внешней нормали к границе “жидкость – газ” и “жидкость – твердое тело”.

На рис. 4 приведено расположение границы смачиваемой жидкости, занимающей область Ω_1 , с поверхностью стенки капилляра $\partial\Omega_1$ и газом Ω_2 , граничащим с поверхностью капилляра $\partial\Omega_2$ и жидкостью Σ . Угол между \bar{m} и $\bar{k}_{\partial\Omega}$ совпадает с динамическим краевым углом θ_e .

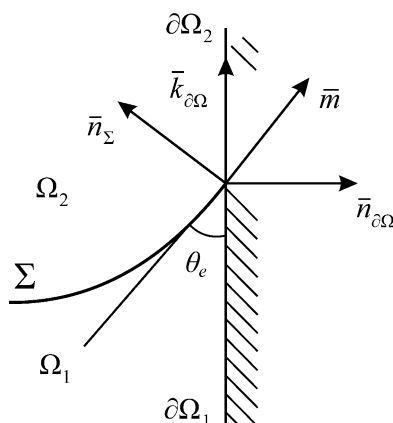


Рис. 4. Направление векторов \bar{m} , $\bar{k}_{\partial\Omega}$, \bar{n}_Σ , $\bar{n}_{\partial\Omega}$ на границе контакта смачиваемой жидкости с поверхностью капилляра

Выражение $\sigma(\bar{m} \cdot \bar{k}_{\partial\Omega} - \cos \theta) = \sigma(\cos \theta_e - \cos \theta)$ называется некомпенсированным напряжением Юнга [5, 30]. Количественно эта величина пропорциональна разности между косинусами динамического θ_e и статического θ краевых углов смачивания. В капилляре цилиндрической формы радиусом R скачок давления Δp_e через движущуюся границу Σ , согласно формуле Лапласа, запишется так:

$$\Delta p_e = 2\sigma \frac{\cos \theta_e}{R}.$$

Для равновесного краевого угла смачивания θ скачок давления находится аналогично:

$$\Delta p = 2\sigma \frac{\cos \theta}{R}.$$

Поскольку в общем случае θ и θ_e различны, разность $\Delta p - \Delta p_e$, выражающая меру диссипации энергии Гиббса, будет отлична от нуля. В термодинамике смысл выражения Δp означает изменение межфазной свободной энергии Гиббса на границе контакта флюида и твердого тела, когда вдоль границы линии смачивания движутся одновременно жидкость и газ, а Δp_e выражает внешнюю работу, совершаемую термодинамической системой [5]. Действительно, пусть жидкость и газ в капилляре цилиндрической формы сместились вдоль его оси на расстояние L , тогда из уравнения Юнга для равновесного краевого угла θ сила $\pi R^2 \Delta p$ равна $2\pi R \sigma \cos \theta = 2\pi R(\sigma_{\alpha\Omega_1} - \sigma_{\alpha\Omega_2})$, где $\sigma_{\alpha\Omega_1}$, $\sigma_{\alpha\Omega_2}$ — коэффициенты поверхностного натяжения на границах “жидкость–твердое тело” и “газ–твердое тело”. Изменение свободной энергии на границе контакта флюида и твердого тела будет $\pi R^2 \Delta p L = 2\pi RL(\sigma_{\alpha\Omega_1} - \sigma_{\alpha\Omega_2})$. Внешняя работа, совершаемая системой $\pi R^2 \Delta p_e L$. Диссипация энергии Гиббса, проявляющаяся вследствие движения флюида вдоль границы линии смачивания $\pi R^2 (\Delta p_e - \Delta p)L = 2\pi RL\sigma(\cos \theta_e - \cos \theta)$. Отсюда следует выражение для некомпенсированного напряжения Юнга:

$$\sigma(\cos \theta_e - \cos \theta) = \sigma \cos \theta + \sigma_{\alpha\Omega_1} - \sigma_{\alpha\Omega_2}.$$

В условиях термодинамического равновесия фаз должно выполняться условие минимума энергии Гиббса, из которого следует $\theta_e = \theta$ и косинус равновесного краевого угла смачивания находится по формуле

$$\cos \theta = \frac{\sigma_{\alpha\Omega_1} - \sigma_{\alpha\Omega_2}}{\sigma}.$$

Сумма сил $\bar{F}_{wall} = \bar{F}_\theta + \bar{F}_r$, действующих вдоль вектора $\bar{k}_{\alpha\Omega}$ на границе контакта “жидкость – твердое тело”:

$$\bar{F}_{wall} = \sigma \delta(\bar{m} \cdot \bar{k}_{\alpha\Omega} - \cos \theta) \bar{k}_{\alpha\Omega} - \frac{\mu}{\beta} \bar{u}_{tg}. \quad (15)$$

Полученную силу \bar{F}_{wall} необходимо задать в качестве граничного условия в (5) вместо \bar{F} , а также учесть тангенциальную компоненту скорости $\bar{u} = \bar{u}_{tg}$ из (12), плотность и вязкость вычислить по (10) и (11). Для функции-идентификатора среды условие на границе контакта жидкости с твердым телом примет вид

$$\left(\varepsilon \nabla \varphi - \varphi(1 - \varphi) \frac{\nabla \varphi}{|\nabla \varphi|} \right) \bar{n}_{\alpha\Omega} = 0. \quad (16)$$

При истечении воздуха или нефти из верхнего торца капилляра или горной породы необходимо поставить граничное условие на давление p_{out} :

$$[-p\mathbf{I} + \mu(\nabla \bar{u} + (\nabla \bar{u})^T)] \bar{n}_s = -p_{out} \cdot \bar{n}_s, \quad (17)$$

где \bar{n}_s — вектор внешней нормали к поверхности верхнего торца капилляра, совпадающий с направлением оси Oz (рис. 1).

На линии AB зададим условие для распределения давления p_{AB} с глубиной $0 \leq z \leq H$:

$$p_{AB} = -\rho g z, \quad \bar{u} \cdot \bar{k}_{\alpha\Omega} = 0, \quad (18)$$

$$\bar{n}_{\alpha\Omega}^T [-p\mathbf{I} + \mu(\nabla \bar{u} + (\nabla \bar{u})^T)] \bar{n}_{\alpha\Omega} = -p_{AB}. \quad (19)$$

На дне резервуара зададим условие непротекания

$$\bar{u} \cdot \bar{n}_{\partial\Omega} = 0 \quad (20)$$

и неприлипания к неподвижной твердой стенке

$$\bar{u}_{wall} \cdot \bar{n}_{wall} = 0, \quad \bar{n}_{wall} = -\bar{n}_{\partial\Omega}, \quad (21)$$

где \bar{n}_{wall} — вектор внешней нормали к поверхности стенки дна резервуара, направленный от границы поверхности стенки в область, занятую водой. Для функции-идентификатора среды необходимо принять условие (16).

При воздействии упругих колебаний на дно резервуара его граница придет в движение, колебания передадутся воде, находящейся в резервуаре. Если закон изменения скорости смещения границы дна резервуара известен, например, это будут гармонические колебания по закону

$$u_{wall} = A \cdot \sin \omega t \quad (22)$$

с амплитудой A и угловой частотой $\omega = 2\pi f$ (f — линейная частота), тогда дополнительно к условию непротекания (20) необходимо задать условие неприлипания. Оно заключается в том, что скорость смещения границы дна резервуара совпадает со скоростью смещения воды, а ее вектор направлен по направлению вектора \bar{n}_{wall} :

$$\bar{u}_{wall} \cdot \bar{n}_{wall} = -\bar{u} \cdot \bar{n}_{\partial\Omega}. \quad (23)$$

В силу симметрии задачи капиллярной пропитки на линии Oz (рис. 1) следует выполнить граничное условие непротекания и стремление скорости сдвига к нулю:

$$\bar{u} \cdot \bar{n}_{sym} = 0, \quad (24)$$

$$[-p\mathbf{I} + \mu(\nabla\bar{u} + (\nabla\bar{u})^T)] \bar{n}_{sym} = 0, \quad (25)$$

$$\left(\varepsilon \nabla \varphi - \varphi(1-\varphi) \frac{\nabla \varphi}{|\nabla \varphi|} \right) \bar{n}_{sym} = 0, \quad (26)$$

где \bar{n}_{sym} — вектор нормали, направленный в радиальном направлении вдоль оси Or от оси симметрии Oz в область Ω .

В начальный момент времени вода в резервуаре покоилась. При касании капилляра или горной породы торцом ее свободной поверхности начинается процесс капиллярной пропитки. Условия на начальную скорость, давление и функцию-идентификатор среды для воды в области Ω_1 следующие:

$$u|_{t=0} = 0, \quad (27)$$

$$p|_{t=0} = -\rho g z, \quad (28)$$

$$\varphi(\mathbf{x}, 0) = 1. \quad (29)$$

РЕЗУЛЬТАТЫ МОДЕЛИРОВАНИЯ ПОДНЯТИЯ ЖИДКОСТИ В КАПИЛЛЯРЕ

Зададим для воды и воздуха физические константы, характеризующие их свойства при нормальных условиях: $\rho_1 = 998$ кг/м³, $\rho_2 = 1.2$ кг/м³, $\mu_1 = 10^{-3}$ Па·с, $\mu_2 = 1.81 \cdot 10^{-5}$ Па·с, $\sigma = 0.072$ Дж/м². Равновесный краевой угол смачивания воды и поверхности стенки капилляра

(из кварцевого стекла) $\theta = 0$. Радиус капилляра $R_{cap} = 0.295$ мм, его длина $L = 0.05$ м. Опустим вертикально торец капилляра в резервуар с водой глубиной $H = 0.15$ мм так, чтобы он касался свободной поверхности воды. В капилляр из резервуара начнет поступать вода, и мениск придет в движение. Высоту поднятия жидкости в капилляре обозначим $h(t)$, максимальную высоту поднятия жидкости в капилляре определим по формуле Жюрена:

$$h_{max} = \frac{2\sigma \cos \theta}{R_{cap} (\rho_1 - \rho_2)g}.$$

Подставляя в нее соответствующие константы, получим максимальное поднятие воды в капилляре $h_{max} = 0.05$ м. Чтобы по поставленной задаче (1)–(29) в расчетах задать динамический краевой угол смачивания θ_e , необходимо определить его величину из экспериментальных данных или воспользоваться формулой Вашбурна – Лукаса [11 – 13, 17] с известным коэффициентом трения β_{tr} .

Динамический краевой угол смачивания θ_e зависит от капиллярного числа ($Ca = \mu u / \sigma$). При перемещении границы раздела “вода – воздух”, динамический контактный угол уменьшается, а скорость потока воды возрастает. Для $Ca < 0.01$ в [32, 33] предложено регрессионное уравнение

$$\frac{\cos \theta - \cos \theta_e}{\cos \theta + 1} = ACa^B, \quad (30)$$

где A , B — эмпирические константы, позволяющие рассчитывать θ_e в зависимости от скорости движения воды в капилляре.

Для моделирования поднятия жидкости в капилляре применяют формулу Вашбурна – Лукаса, учитывающую силы поверхностного натяжения $2\pi R_{cap} \sigma \cos \theta_e$, тяжести $mg = \pi R_{cap}^2 \rho_1 gh(t)$, инерции

$$\pi R_{cap}^2 \rho_1 \frac{d}{dt} \left(h(t) \frac{dh(t)}{dt} \right)$$

и вязкостное (гидродинамическое) сопротивление жидкости

$$8\pi\mu_1 h(t) \frac{dh(t)}{dt}.$$

Подставляя указанные силы во второй закон Ньютона, имеем

$$\pi R_{cap}^2 \rho_1 \frac{d}{dt} \left(h(t) \frac{dh(t)}{dt} \right) = 2\pi R_{cap} \sigma \cos \theta_e - \pi R_{cap}^2 \rho_1 gh(t) - 8\pi\mu_1 h(t) \frac{dh(t)}{dt}. \quad (31)$$

Некомпенсированное напряжение Юнга связано со скоростью поднятия жидкости коэффициентом трения β_{tr} жидкости о стенку капилляра [12]:

$$\sigma(\cos \theta_e - \cos \theta) = -\beta_{tr} \frac{dh(t)}{dt}. \quad (32)$$

Пренебрегая в (31) силами инерции [34] и выражая $\sigma \cos \theta_e$ из (32), получим

$$2\pi R_{cap} \left(\sigma \cos \theta - \beta_{tr} \frac{dh(t)}{dt} \right) = \pi R_{cap}^2 \rho_1 gh(t) + 8\pi\mu_1 h(t) \frac{dh(t)}{dt}. \quad (33)$$

Численное решение дифференциального уравнения (33) с начальным условием $h(0) = 10^{-6}$ м для $\beta_{tr} = 0$ и $\beta_{tr} = 0.45$ приведено в [12] и показано, в сопоставлении с экспериментальными данными, на рис. 5. Здесь же приведен график изменения динамического краевого угла смачивания θ_e , полученного в ходе эксперимента [12] с использованием высокоскоростной камеры и последующей обработкой изображений. В [12] использован капилляр, изготовленный из кварцевого стекла радиусом $R_{cap} = 0.295$ мм.

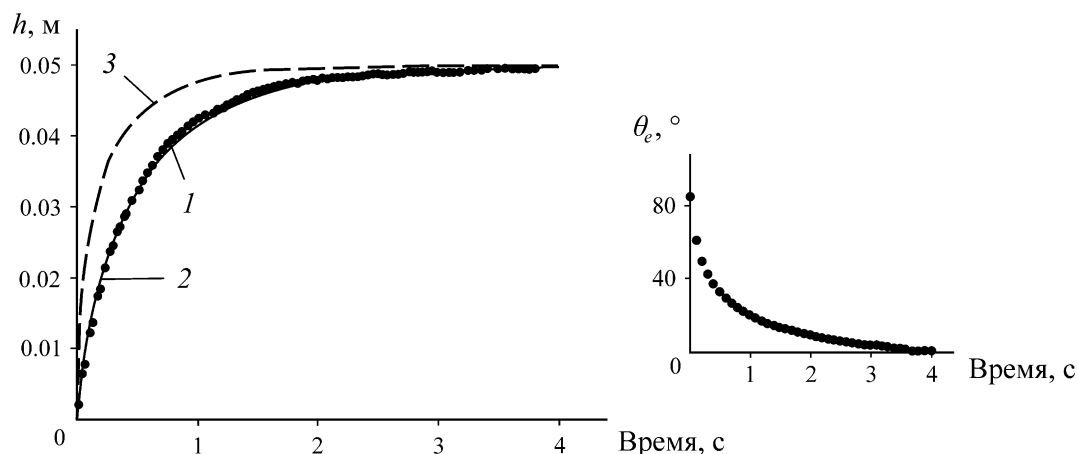


Рис. 5. Временные зависимости высоты поднятия жидкости в капилляре: 1 — экспериментальные данные; расчетные кривые по формуле (36): 2 — $\beta_{tr} = 0.45$; 3 — $\beta_{tr} = 0$

Воспользуемся уравнением (32) и (33) с коэффициентом трения $\beta_{tr} = 0.45$ для определения динамического контактного угла θ_e . Его аппроксимация регрессионным уравнением

$$\theta_e(t) = \frac{-1.608t^2 + 9.052t + 2.369}{t^3 + 9.647t^2 + 13.03t + 1.513}, \quad (34)$$

дает хорошее соответствие результатов численного решения поставленной задачи (1)–(21), (24)–(29) с экспериментальными данными, полученными в [12]. Однако для учета влияния вибровоздействия на процесс капиллярной пропитки уравнение (34) не подходит, так как оно не учитывает изменение скорости притока воды, поступающей из резервуара.

Подставим (34) в (30), при этом скорость потока u , входящую в капиллярное число $Ca = \mu u / \sigma$, определим из (33) следующим образом: $u = dh(t) / dt$. После несложных преобразований найдем эмпирические константы $A = 224.7$ и $B = 1$. Регрессионное уравнение (30) позволяет учесть влияние колебаний давления воды на скорость капиллярной пропитки, вызванных вибрацией, приложенной к стенке дна резервуара.

Решение задачи (1)–(29) получено численно, методом конечных объемов в программном пакете OpenFOAM. Использована равномерная сетка с шагом 0.08 мм и временным шагом 0.004 с. Для интегрирования уравнений в частных производных по времени применен трехстадийный неявный метод, приведенный в [35]. Результат расчета временной зависимости высоты поднятия воды в капилляре без вибровоздействия, выполненный по формулам (1)–(21), (24)–(29), показан на рис. 6а (кривая 1). Он совпадает с решением, полученным на основе уравнения Вашбурна–Лукаса (рис. 5, кривая 2), и хорошо согласуется с экспериментальными данными (рис. 5, кривая 1).

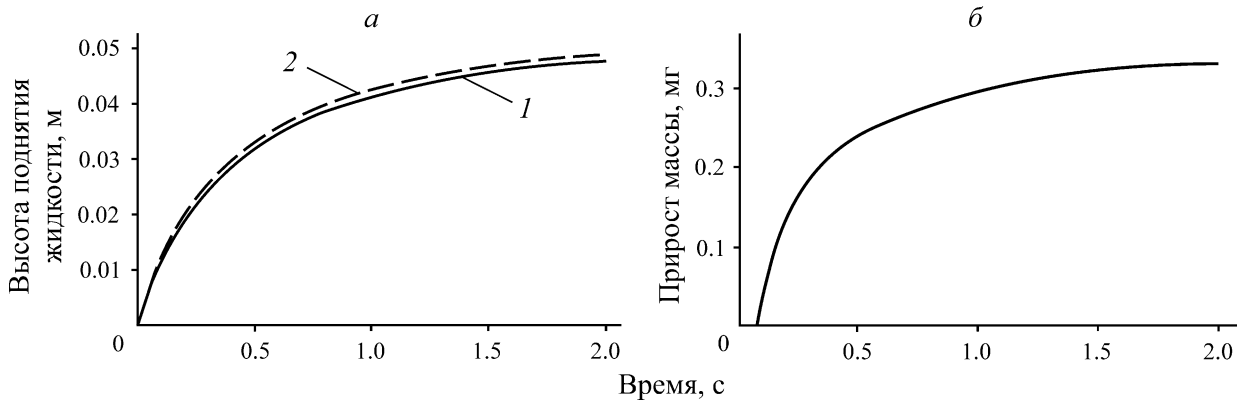


Рис. 6. Временные зависимости высоты поднятия жидкости в капилляре (а): 1 — без вибровоздействия; 2 — с вибровоздействием; динамика прироста массы в капилляре при вибровоздействии (б)

При воздействии упругими колебаниями на дно резервуара его граница будет смещаться по гармоническому закону (22) с амплитудой скорости смещения $A=0.04$ мм/с и линейной частотой $f=1250$ Гц. Эти колебания распространятся по всему объему воды, находящейся в резервуаре и поступающей оттуда в капилляр. На рис. 6а кривой 2 показана временная зависимость высоты поднятия воды в капилляре с учетом вибровоздействия, рассчитанная по формулам (1)–(19), (22)–(29). Сопоставляя кривую 1 и 2 (рис. 6а), приходим к выводу, что вибровоздействие ускоряет процесс капиллярной пропитки. Разность высот поднятия воды в капилляре при вибровоздействии и без него, помноженная на площадь внутреннего сечения капилляра и плотность воды, показывает динамику прироста массы воды в капилляре (рис. 6б). Приведенный пример решения задачи капиллярной пропитки (1)–(29) позволяет также оценить максимальный прирост расхода жидкости, поступающей из резервуара в капилляр — 1.8 мм³/с.

РЕЗУЛЬТАТЫ И ИХ ОБСУЖДЕНИЕ

Модели, составленные на основе уравнения Вашбурна–Лукаса, разработаны для описания процесса поднятия жидкости в капилляре или трубки цилиндрической формы. Существует концепция, рассматривающая течение в пористой среде как течение через связку капилляров со средним радиусом \tilde{r} , соответствующим среднему радиусу пор [36]. Если обозначить число эквивалентных капилляров со средним радиусом N , участвующих в капиллярной пропитке, то масса жидкости, поднимающейся по ним, оценивается как

$$m_N(t) = \pi \tilde{r}^2 h(t) \rho \quad (35)$$

где $h(t)$ — высота поднятия жидкости в капилляре.

Эффекты замедления движения жидкости, связанные с шероховатостью внутренней поверхности пор, рассматривались в [37–40]. Однако в них не учитывалось влияние извилистости капилляров на величину динамического контактного угла θ_e . В [14, 17] извилистость τ определяется как отношение фактически пройденного пути \tilde{l} движущейся жидкости через пространство пор к высоте поднятия фронта насыщения h , отсчитываемой от границы соприкосновения пористой среды со свободной поверхностью жидкости:

$$\tau = \frac{\tilde{l}}{h} \quad (36)$$

Формула Вашбурна–Лукаса в форме (33) для пористой среды:

$$2\pi\tilde{\tau} \left(\frac{\tilde{r}}{u} \right) \sim at \quad (37)$$

или с учетом (36):

$$2\pi\tilde{\tau} \left(\frac{\tilde{r}}{u} \right) \sim (t) \frac{dh(t)}{dt}, \quad (40)$$

\tilde{f} — средний коэффициент трения жидкости о поверхность пор.

Подобные рассуждения остаются справедливы и для предложенной постановки задачи (1)–(29), т. е. алгоритм решения таков: зная коэффициент извилистости τ , количество эквивалентных капилляров N , участвующих в процессе капиллярной пропитки, со средним радиусом \tilde{r} , среднее значение коэффициента трения \tilde{f} , можно рассчитать ускорение пропитки в пористом керне, выбуренном из горной породы.

ВЫВОДЫ

Моделирование процесса поднятия жидкости в капилляре, проведенное на основе общих подходов течения двухфазных сред, позволяет определить зависимость скорости пропитки от амплитуды и частоты колебания жидкости, поступающей в него из резервуара. На примере поднятия воды в капилляре цилиндрической формы показано, что вибрация существенно уменьшает время пропитки. Предложенная модель обобщена на случай пропитки пористого керна реальной горной породы.

СПИСОК ЛИТЕРАТУРЫ

1. Курленя М. В., Цупов М. Н., Савченко А. В. Влияние Бачатского землетрясения в Кузбассе на эмиссию метана в горные выработки угольных шахт // ФТПРПИ. — 2019. — № 5. — С. 3–9.
2. Евстигнеев Д. С., Курленя М. В., Пеньковский В. И., Савченко А. В. Дебит флюида при гидроимпульсном воздействии на призабойную зону скважины нефтяного пласта // ФТПРПИ. — 2019. — № 3. — С. 3–14.
3. Kurlenya M. V., Pen'kovsky V. I., Savchenko A. V., Evstigneev D. S., and Korsakova N. K. De-velopment of method for stimulating oil inflow to the well during field exploitation, J. Min. Sci., 2018, Vol. 54, Issue 3. — P. 414–422.
4. Salathiel R. A. Oil recovery by surface film drainage in mixed-wettability rocks, J. Petroleum Technol., 1973, Trans. AIME, Vol. 25, No. 10. — P. 1216–1224.
5. Qian T., Wang X., and Sheng P. Molecular hydrodynamics of the moving contact line in two-phase immiscible flows, Communications in Computational Physics, 2006, Vol. 1, No. 1. — P. 1–52.
6. Guo X., Liu R., Wang J., Shuai S., Xiong D., Bai S., and Wang X. Pore-scale modeling of wettability effects on infiltration behavior in liquid composite molding, Physics of Fluids, 2020, Vol. 32, No. 9, 093311.
7. Liu Zh., Yu X., and Wan L. Influence of contact angle on soil–water characteristic curve with modified capillary rise method, J. of the Transportation Res. Board, 2013, Vol. 2349, No. 1. — P. 32–40.
8. Cao H., Amador C., Jia X., and Ding Y. Capillary dynamics of water/ethanol mixtures, Ind. Eng. Chem. Res., 2015, Vol. 54, No. 48. — P. 12196–12203.

9. **Lim H., Lee M., and Lee J.** Versatile analysis of closed-end capillary invasion of viscous fluids, *JMST Advances*, 2019, Vol. 1. — P. 73–79.
10. **Zhud B. V., Tiberg F., and Hallstenson K.** Dynamics of capillary rise, *J. Colloid Interface Sci.*, 2000, Vol. 228. — P. 263–269.
11. **Levine S., Lowndes J., Watson E. J., and Neale G.** A theory of capillary rise of a liquid in a vertical cylindrical tube and in a parallel-plate channel Washburn equation modified to account for the meniscus with slippage at the contact line, *J. Colloid Interface Sci.*, 1980, Vol. 73, Issue 1. — P. 136–151.
12. **Hamraoui A., Thuresson K., Nylander T., and Yaminsky V.** Can a dynamic contact angle be understood in terms of a friction coefficient, *J. Colloid Interface Sci.*, 2000, Vol. 226. — P. 199–204.
13. **Hamraoui A. and Nylander T.** Analytical approach for the Lucas–Washburn equation, *J. Colloid Interface Sci.*, 2002, Vol. 250. — P. 415–421.
14. **Liu Z., Yu X., and Wan L.** Capillary rise method for the measurement of the contact angle of soils, *Acta Geotechnica*, 2016, Vol. 11. — P. 21–35.
15. **Bachmann J., Woche S. K., Goebel M.-O., Kirkham M. B., and Horton R.** Extended methodology for determining wetting properties of porous media, *Water Resources Research*, 2003, Vol. 39, Issue 12. — P. 1353–1367.
16. **Czachor H.** Modelling the effect of pore structure and wetting angles on capillary rise in soils having different wettabilities, *J. Hydrology*, 2006, Vol. 328, Issues 3–4 — P. 604–613.
17. **Czachor H.** Applicability of the Washburn theory for determining the wetting angle of soils, *Hydrological Proces.*, 2007, Vol. 21, Issue 17. — P. 2239–2247.
18. **Lo W.-C., Yang C.-C., Hsu S.-Y., Chen C.-H., Yeh C.-L., and Hilpert M.** The dynamic response of the water retention curve in unsaturated soils during drainage to acoustic excitations, *Water Resources Res.*, 2017, Vol. 53, No. 1. — P. 712–725.
19. **Бурого Н. Г., Кукуджанов В. Н.** Обзор контактных алгоритмов // *Изв. РАН. МТТ.* — 2005. — № 1. — С. 45–87.
20. **Cengel Y. A. and Cimbala J. M.** *Fluid mechanics: fundamentals and applications*, McGraw Hill Education, 2017. — 1016 p.
21. **Schlichting H. and Gersten K.** *Boundary-layer theory*, Springer-Verlag, Berlin, Heidelberg, 2017. — 805 p.
22. **Аганин А. А., Гусева Т. С.** Численное моделирование контактного взаимодействия сжимаемых сред на эйлеровых сетках // *Учен. зап. Казан. ун-та. Сер. Физ.-матем. науки.* — 2012. — Т. 154. — Кн. 4. — С. 74–99.
23. **Гусева Т. С.** Численное решение задач взаимодействия жидкости и газа на эйлеровых сетках без явного выделения контактных границ // *Вестн. КазТУ.* — 2013. — Т. 16. — № 15. — С. 135–140.
24. **Osher S. and Sethian J. A.** Fronts propagating with curvature-dependent speed: algorithms based on Hamilton-Jacobi formulations, *J. Comput. Physics*, 1988, Vol. 79, No. 1. — P. 12–49.
25. **Olsson E., Kreiss G., and Zahedi S.** A conservative level set method for two phase flow, *J. Computational Physics*, 2007, Vol. 225, Issue 1. — P. 785–807.
26. **Engquist B., Tornberg A.-K., and Tsai R.** Discretization of Dirac delta functions in level set methods, *J. Computational Physics*, 2005, Vol. 207, No. 1. — P. 28–51.
27. **Zahedi S. and Tornberg A.-K.** Delta function approximations in level set methods by distance function extension, *J. Computational Physics*, 2010, Vol. 229, No. 6. — P. 2199–2219.
28. **Данаев Н. Т., Корсакова Н. К., Пеньковский В. И.** Массоперенос в прискважинной зоне и электромагнитный каротаж пластов. — Алма-Ата: КазНУ им. Аль-Фараби, 2005. — 180 с.
29. **Пеньковский В. И.** Капиллярное давление, гравитационное и динамическое распределение фаз в системе “вода–нефть–газ–порода” // *ПМТФ.* — 1996. — Т. 37. — № 6. — С. 85–90.

30. Gerbeau J.-F. and Lelièvre T. Generalized Navier boundary condition and geometric conservation law for surface tension, *Computer Methods in Appl. Mech. and Eng.*, 2009, Vol. 198, No. 5–8. — P. 644–656.
31. Bonn D., Eggers J., Indekeu J., Meunier J., and Rolley E. Wetting and spreading, *Rev. Modern Physics*, 2009, Vol. 81, No. 2. — P. 739–805.
32. Seebergh J. E. and Berg J. C. Dynamic wetting in the low capillary number regime, *Chem. Eng. Sci.*, 1992, Vol. 47, No. 17–18. — P. 4455–4464.
33. Li X., Fan X., Askounis A., Wu K., Sefiane K., and Koutsos V. An experimental study on dynamic pore wettability, *Chem. Eng. Sci.*, 2013, No. 104. — P. 988–997.
34. Andruk T., Monaenkova D., Rubin B., Lee W.-K., and Kornev K. G. Meniscus formation in a capillary and the role of contact line friction, *Soft Matter*, 2014, Vol. 10, No. 4. — P. 609–615.
35. Süli E. and Mayers D. F. An introduction to numerical analysis, Cambridge University Press, 2003. — 444 p.
36. Хейфец Л. И., Неймарк А. В. Многофазные процессы в пористых средах. — М.: Химия, 1982. — 320 с.
37. Bikerman J. J. The surface roughness and contact angle, *J. Phys. Colloid Chemistry*, 1950, Vol. 54, No. 5. — P. 653–658.
38. Drelich J. and Miller J. D. The effect of solid surface heterogeneity and roughness on the contact angle/drop (bubble) size relationship, *J. Colloid and Interface Sci.*, 1994, Vol. 164, No. 1. — P. 252–259.
39. Kubiak K. J., Wilson M. C. T., Mathia T. G., and Carval P. Wettability versus roughness of engineering surfaces, *Wear*, 2011, Vol. 271, No. 3–4. — P. 523–528.
40. Quéré D. Wetting and roughness, *Annu. Rev. Mater. Res.*, 2008, Vol. 38, No. 1. — P. 71–99.

Поступила в редакцию 25/I 2021
После доработки 26/II 2021
Принята к публикации 15/III 2021